

УДК 532.516

© 1992 г. Ю. Я. БОЛДЫРЕВ

**ПЕРИОДИЧЕСКАЯ ВАРИАЦИОННАЯ ЗАДАЧА, СВЯЗАННАЯ  
С ЛИНЕЙНЫМ УРАВНЕНИЕМ РЕЙНОЛЬДСА**

Рассматривается периодическая задача об оптимизации микрогеометрии подшипника на газовой смазке по критерию максимума подъемной силы. Поле давления в газовом слое определяется с помощью уравнения Рейнольдса газовой смазки. Изучается случай малых чисел сжимаемости.

Проведены анализ системы необходимых условий экстремума вариационной задачи, на основе которого установлено существование оптимального профиля с бесконечным числом разрывов, и расширение вариационной задачи. Найдены предельные периодические оптимальные профили.

**1. Постановка задачи.** В [1, 2] найдена оптимальная микрогеометрия в задачах для подшипников с газовой смазкой, сообщающихся с атмосферой (средой) по всей своей границе. Предполагается, что подшипники работают в режиме малых чисел сжимаемости, а в качестве критерия оптимальности используется подъемная сила. Ниже в аналогичной постановке рассматривается задача об оптимизации микрогеометрии периодического профиля.

Стационарное уравнение Рейнольдса газодинамической теории смазки для случая малых чисел сжимаемости  $\Lambda = 6\mu LU / (h_0^2 p_a)$  запишем в безразмерной дивергентной форме

$$\operatorname{div} Q = 0, \quad Q = -h^3 \nabla p_1 + hv \tag{1.1}$$

где  $Q$  — нормированный вектор объемного расхода,  $p_1$  — безразмерное избыточное давление, отнесенное к соответствующему значению во внешней среде  $p_a$  ( $p = 1 + \Lambda p_1 + o(\Lambda^2)$ ),  $h$  — местная толщина смазочного слоя, отнесенная к характерной толщине  $h_0$ ;  $v$  — местный вектор скорости скольжения, нормированный по характерной скорости  $U$ ;  $\mu$  — динамический коэффициент вязкости,  $L$  — характерный размер. В формулах (1.1)  $\operatorname{div}$  и  $\nabla$  — двумерные операторы дивергенции и градиента (определяемые вдоль поверхности смазочного слоя).

Предполагаем, что профилируемая поверхность неподвижна, а гладкая поверхность лежит в плоскости  $(x_1, x_2)$  декартовых координат  $(x_1, x_2, x_3)$  и движется в направлении оси  $x_2$  с постоянной скоростью  $v = i_2$  (фиг. 1).

Пусть область  $\Omega$ , в которой изменяются переменные  $x_1$  и  $x_2$ , такова:  $|x_1| < 0,5, 0 < x_2 < 1$ . Обозначим границу  $\partial\Omega$ , а ее части

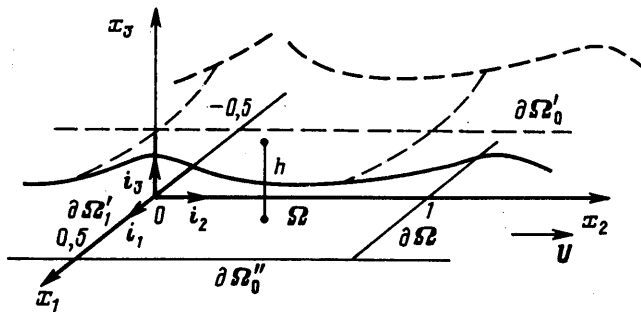
$$\partial\Omega_0' = \{x_1, x_2 | x_1 = -0,5, 0 \leq x_2 \leq 1\}, \quad \partial\Omega_0'' = \{x_1, x_2 | x_1 = 0,5, 0 \leq x_2 \leq 1\}$$

$$\partial\Omega_1' = \{x_1, x_2 | x_2 = 0, |x_1| \leq 0,5\}, \quad \partial\Omega_1'' = \{x_1, x_2 | x_2 = 1, |x_1| \leq 0,5\}$$

Предположим, что на частях  $\partial\Omega_0'$  и  $\partial\Omega_0''$ , которые назовем внешними границами  $\Omega$ , заданы условия равенства избыточного давления нулю

$$p_1|_{\partial\Omega_0'} = 0, \quad p_1|_{\partial\Omega_0''} = 0 \tag{1.2}$$

На двух других —  $\partial\Omega_1'$  и  $\partial\Omega_1''$ , которые будем считать разделяющими



Фиг. 1

периоды, заданы условия периодичности по давлению и нормальной компоненте расхода

$$p_1(s)|_{\partial\Omega_1'} = p_1(s)|_{\partial\Omega_1''}, \quad Q_n(s)|_{\partial\Omega_1'} = Q_n(s)|_{\partial\Omega_1''} \quad (1.3)$$

где  $s$  — криволинейная координата контура.

Решение краевой задачи (1.1) — (1.3) будем искать в классе квадратично-суммируемых функций, имеющих первую обобщенную производную  $W_2^1(\Omega)$ . На величину толщины зазора  $h(x_1, x_2)$ , которая является в данной задаче управляющей функцией, принадлежащей к классу существенно ограниченных функций  $L_\infty(\Omega)$ , наложены ограничения

$$h_{\min} = 1 \leq h(x_1, x_2) \leq h_{\max} \quad (1.4)$$

Здесь  $h_{\max}$  задано, а равенство  $h_{\min} = 1$  определяется нормировкой.

Главный вектор сил давления  $\mathbf{R} = -\Lambda \int_{\Omega} p_1 \mathbf{n} d\Omega$ , где  $\mathbf{n}$  — единичный вектор внешней нормали к  $\Omega$ ,  $d\Omega$  — ее дифференциал. В дальнейшем предполагаем, что вектор нагрузки имеет направление, совпадающее с направлением оси  $x_3$  исходной декартовой системы координат, связанной с подшипником. Проекция вектора  $\mathbf{R}$  на ось  $x_3$  имеет вид

$$J = -\Lambda \int_{\Omega} p_1 d\Omega \quad (1.5)$$

В дальнейшем индекс 1 у избыточного давления опускаем. Итак, будем искать минимум функционала (1.5) при ограничениях (1.1) — (1.4) методами вариационного исчисления.

Удовлетворим первому из уравнений (1.1), определив периодическую функцию  $M(x_1, x_2)$  соотношением  $\mathbf{Q} = \text{rot}(M\mathbf{i}_3)$ , где  $\mathbf{i}_3$  — орт оси  $x_3$ .

Перейдем к открытой области изменения функции  $h(x_1, x_2)$ , используя соотношение  $\Psi \equiv (h_{\max} - h)(h - 1) - v^2 = 0$ , где  $v(x_1, x_2)$  — дополнительное управление.

Построим вспомогательный функционал  $I = \int_{\Omega} F d\Omega$  с расширенной функцией  $F$  вида

$$F = -p + (\eta, \mathbf{Q} - \text{rot}(M\mathbf{i}_3)) + (\lambda, \mathbf{Q} + h^3 \nabla p - h\mathbf{v}) + \xi \psi \quad (1.6)$$

где  $\eta$ ,  $\lambda$ ,  $\xi$  — функциональные множители Лагранжа, первые два из которых — векторные, а  $\xi$  — скалярный; символом  $(,)$  обозначено скалярное произведение векторов. Очевидно, что функционал  $I$  равен исходному  $J$  с

точностью до постоянного множителя  $\Lambda$  при выполнении всех ограничений.

## 2. Необходимые условия экстремума функционала I и их анализ.

Уравнения Эйлера — Лагранжа имеют вид

$$\eta + \lambda = 0, \quad (i_3, \text{rot } \eta) = 0 \quad (2.1)$$

$$\text{div}(h^3 \lambda) + 1 = 0 \quad (2.2)$$

$$(\lambda, 3h^2 \nabla p - \nu) + \xi (h_{\max} + 1 - 2h) = 0, \quad \xi \nu = 0 \quad (2.3)$$

Условия трансверсальности на границе  $\partial\Omega$  таковы

$$\lambda_\tau \delta M - h^3 \lambda_n \delta p - \left( F + \lambda_\tau \frac{\partial M}{\partial \tau} - h^3 \lambda_n \frac{\partial p}{\partial n} \right) \delta n = 0 \quad (2.4)$$

где индексы  $\tau$  и  $n$  — проекция величины на направление касательной  $\tau$  и внешней нормали  $n$  к  $\partial\Omega$ , а  $\delta n$  — вариация нормали. В выражении (2.4) вариации  $\delta M$  и  $\delta p$  — полные, т. е. учитывают возможную подвижность границы.

В предположении, что функция профиля  $h$  имеет в  $\Omega$  разрывы первого рода вдоль некоторых гладких линий  $\gamma$ , получим условия Эрдмана — Вейерштрасса

$$[\lambda_\tau]_-^+ \delta M - [h^3 \lambda_n]_-^+ \delta p - \left[ F + \lambda_\tau \frac{\partial M}{\partial \tau} - h^3 \lambda_n \frac{\partial p}{\partial n} \right]_-^+ \delta n = 0 \quad (2.5)$$

Здесь символами  $[ ]_-^+$  обозначены разности величин, стоящих в скобках, справа и слева от линии разрыва  $\gamma$ , а  $\tau$  и  $n$  аналогично формуле (2.4) — проекции векторов касательной и нормали к  $\gamma$ ,  $\delta n$  — вариация нормали к  $\gamma$ .

Приведем условие Вейерштрасса сильного минимума функционала I, опуская его подробный вывод, описанный в [2]

$$\begin{aligned} \varepsilon &= (H - h) [(\lambda, R(H, h)) - m \lambda_n R_n(H, h)] > 0 \\ m &= (H^3 - h^3) / H^3, \quad R(H, h) = (H^2 + Hh + h^2) \nabla p - \nu \end{aligned} \quad (2.6)$$

Здесь  $H$  — допустимое значение профиля, причем  $\nabla p$  и  $\lambda$  вычисляются на оптимальном профиле  $h$ . В условии Вейерштрасса (2.6) учитывается не только поточечное влияние величины  $H$ , но и поточечная ориентация области варьирования [3]. Из условия (2.6) следует

$$\begin{aligned} (\lambda, R(h_{\min}, H)) - m_{\min} \lambda_n R_n(h_{\min}, H) &> 0, \quad h = h_{\min} \\ (\lambda, R(h, h)) &= 0, \quad h_{\min} < h < h_{\max} \end{aligned} \quad (2.7)$$

$$(\lambda, R(h_{\max}, H)) - m_{\max} \lambda_n R_n(h_{\max}, H) < 0, \quad h = h_{\max}$$

$$m_{\min} = \frac{H^3 - h_{\min}^3}{H^3}, \quad m_{\max} = \frac{H^3 - h_{\max}^3}{H^3}$$

Из (2.7), в частности, находим

$$(\lambda, R(h_{\min}, h_{\min})) > 0, \quad (\lambda, R(h_{\max}, h_{\max})) < 0 \quad (2.8)$$

Выберем ориентацию области варьирования в произвольной точке таковой, что  $\lambda_n = 0$  в (2.6), и перепишем (2.6) в виде

$$\varepsilon = (H - h) (\lambda, R(h, h)) + 3h(H - h)^2 (\lambda, \nabla p) + (H - h)^3 (\lambda, \nabla p) > 0$$

Отсюда получаем, что условие Вейерштрасса не нарушается в случае

$$(\lambda, \nabla p) > 0 \quad (2.9)$$

при  $h_{\min} \leq h \leq h_{\max}$  в строго внутренних точках области  $\Omega$ .

Неравенство (2.9) позволяет сделать выводы о знаке произведения  $(\lambda, \nu)$  в каждом из случаев, определяемых как условиями (2.8), так и промежуточным режимом, соответствующим последнему из соотношений (2.7). А именно для промежуточного режима  $h_{\min} < h < h_{\max}$ , согласно (2.7), имеем

$$(\lambda, \nu) > 0 \quad (2.10)$$

Для  $h_{\min}$  и  $h_{\max}$  неравенства (2.8) выполняются наиболее сильно, если

$$(\lambda, \nu) \leq 0, \quad h = h_{\min} \quad (2.11)$$

$$(\lambda, \nu) \geq 0, \quad h = h_{\max} \quad (2.12)$$

Итак, неравенства (2.10) – (2.12) показывают, как характер оптимального профиля  $h$  связан со знаками соответствующих скалярных произведений. Попробуем определить знаки последних.

Приведем систему уравнений (2.1), (2.2) к виду

$$\lambda = \nabla \lambda_0, \quad \operatorname{div}(h^2 \lambda) + 1 = 0 \quad (2.13)$$

с помощью скалярной функции  $\lambda_0$ , введенной для удовлетворения второму из уравнений (2.1). Краевые условия к системе уравнений для  $\lambda_0$  (2.13) найдем из рассмотрения условий трансверсальности (2.4). В силу того, что контур области  $\Omega$  фиксирован, имеем для вариаций нормали  $\delta n = 0$ , а из граничных условий (1.2) следует  $\delta p = 0$  на  $\partial\Omega_0'$  и  $\partial\Omega_0''$ . Тогда, согласно (2.4), находим  $\lambda_\tau \delta M = \partial \lambda_0 / \partial \tau \delta M = 0$ , откуда в силу произвольности  $\delta M$ , выбрав соответствующую постоянную равной нулю, получим

$$\lambda_0(s) |_{\partial\Omega_0'} = 0, \quad \lambda_0(s) |_{\partial\Omega_0''} = 0 \quad (2.14)$$

где  $s$  – координата контура.

На тех же частях  $\partial\Omega$ , где выполняются условия периодичности (1.3), учитывая сказанное, найдем

$$(\lambda_\tau(s) |_{\partial\Omega_1'} - \lambda_\tau(s) |_{\partial\Omega_1''}) \delta M(s) - (h^3(s) \lambda_n(s) |_{\partial\Omega_1'} - h^3(s) \lambda_n(s) |_{\partial\Omega_1''}) \delta p(s) = 0$$

Отсюда в силу независимости вариаций получаем условия периодичности

$$\lambda_\tau(s) |_{\partial\Omega_1'} = \lambda_\tau(s) |_{\partial\Omega_1''}, \quad h^3(s) \lambda_n(s) |_{\partial\Omega_1'} = h^3(s) \lambda_n(s) |_{\partial\Omega_1''} \quad (2.15)$$

В [1, 2] при разыскании структуры оптимального профиля  $h$  существенно использовалось поведение векторов  $\nabla p$  и  $\lambda = \nabla \lambda_0$  на границе  $\Omega$ .

Применяя этот же подход, рассмотрим неравенство Вейерштрасса (2.6) на границах  $\partial\Omega_0'$  и  $\partial\Omega_0''$ . Заметим, что оно рассматривается в предельном смысле при движении из внутренней области  $\Omega$  к соответствующим границам. При этом предполагается, что к рассматриваемым точкам границы примыкают гладкие куски функции  $h$ . Согласно условию трансверсальности, здесь  $\lambda_\tau = \partial \lambda_0 / \partial \tau = 0$ , а  $\nu_n = 0$  из постановки задачи, и неравенство (2.6) принимает вид

$$(H^3 - h^3) \left( \frac{\partial \lambda_0}{\partial n} \right) \frac{\partial p}{\partial n} > 0$$

Отсюда, в частности, следует, что при  $h = h_{\max}$  и  $h_{\min} < h < h_{\max}$  условие (2.9) не выполняется на внешних границах  $\Omega$ , так как  $H^3 - h^3 < 0$  в первом случае и  $H^3 - h^3$  знакопеременно во втором.

Учитывая краевые условия (2.14) на  $\partial\Omega_0'$  и  $\partial\Omega_0''$ , получаем, что вектор  $\lambda = \nabla \lambda_0$  ортогонален внешней границе, как и в случае, рассмотренном в [2]. При этом, здесь также  $(\lambda, \nu) = 0$  и, согласно (2.11) и (2.9), в указанном предельном смысле  $h = h_{\min}$ .

Изучим поведение вектора  $\nabla p$  на внешних границах. Во-первых, в силу вида краевых условий (1.2) здесь  $\nabla p = n \delta p / \delta n$  ( $n$  – внешняя нормаль). Во-вторых, в силу симметрии задачи и условий периодичности (1.3) из урав-

нений (1.1) имеем

$$\oint_{\partial\Omega} \operatorname{div} \mathbf{Q} \, ds = 2 \int_0^1 Q_n \, dx_2 = 2 \int_0^1 h^3 \frac{\partial p}{\partial n} \, dx_2 = 0 \quad (2.16)$$

Отсюда легко видеть, что величина  $\partial p / \partial n$  знакопеременна на каждой из границ  $\partial\Omega'_0$  и  $\partial\Omega''_0$ .

Из последнего следует, что к внешним границам  $\Omega$ , согласно краевым условиям (1.2), примыкают как области повышения давления, так и области разрежения газа. С точки зрения поиска минимума функционала (1.5), естественно выбирать положительные в  $\Omega$  функции  $h$ . Иначе говоря, необходимо искать такие поля давления, для которых всюду или на большей части внешних границ справедливо неравенство  $\partial p / \partial n < 0$ . Исходя из этого, условие (2.16) может быть удовлетворено, в частности, при  $h_{\max} \rightarrow \infty$  в одной или в ряде точек внешней границы, где  $\partial p / \partial n > 0$ . Очевидно, что соотношение (2.16) надо рассматривать здесь в предельном смысле, т. е. при  $h_{\max} \rightarrow \infty$  и  $\partial p / \partial n \rightarrow +0$ .

Оставляя этот случай для отдельного рассмотрения, укажем иной путь удовлетворения соотношению (2.16). А именно попытаемся найти такое поле давления, при котором на внешней границе среднее значение величины  $\partial p / \partial n < 0$ . При этом потребуем, чтобы интеграл от произведения  $h^3 \partial p / \partial n$  обращался в нуль благодаря соответствующему скачкообразному изменению функции  $h$  на границах  $\partial\Omega'_0$  и  $\partial\Omega''_0$ . С увеличением числа скачков до бесконечности получаем на границах так называемый скользящий режим, отвечающий бесконечному числу разрывов у оптимального профиля в области  $\Omega$ .

Такая ситуация часто возникает в оптимальных процессах, описываемых уравнениями эллиптического типа с управляющими функциями в главной части дифференциального оператора [3, 4]. По этой причине необходимо расширить класс управляющих функций  $h$  за пределы пространства кусочно-гладких управлений и разыскивать в  $L_\infty(\Omega)$  обобщенное оптимальное управление.

**3. Расширенная вариационная задача.** Для расширения требуется изменить исходную постановку задачи, произведя  $G$ -замыкание уравнения (1.4) [5]. Последнее означает переход к предельному аналогу уравнения Рейнольдса, отвечающему наличию в  $\Omega$  бесконечно большого числа разрывов у функции  $h$ . Оставляя в стороне вывод предельных соотношений [6], приведем их окончательный вид в локальных координатах  $(n, \tau)$ , связанных с линиями разрыва

$$\operatorname{div} \mathbf{Q}^* = 0, \quad \mathbf{Q}^* = -D \cdot \nabla p^* + R \cdot \mathbf{v} \quad (3.1)$$

$$D = \lambda_1 \mathbf{a}\mathbf{a} + \lambda_2 \mathbf{b}\mathbf{b}, \quad R = \mu_1 \mathbf{a}\mathbf{a} + \mu_2 \mathbf{b}\mathbf{b} \quad (3.2)$$

Здесь  $D$  и  $R$  — симметричные тензоры второго ранга, звездочки указывают на предельный характер величин, точкой обозначено скалярное произведение тензора на вектор,  $\mathbf{a}\mathbf{a}$  и  $\mathbf{b}\mathbf{b}$  — диады,  $\lambda_1, \lambda_2$  и  $\mu_1, \mu_2$  — собственные числа тензоров, отвечающие собственным векторам  $\mathbf{a}$  и  $\mathbf{b}$ , направленным по нормали и касательной к линии разрыва.

Важную роль в выводе уравнений (3.1) играет понятие предельной концентрации  $\kappa$  областей с  $h > h_{\min}$  в данной точке  $\Omega$

$$\lim_{|S| \rightarrow 0} \frac{|S_+|}{|S|} = \kappa \quad (3.3)$$

Здесь элемент  $S$ , такой, что его площадь  $|S|$  много меньше площади  $\Omega$ , однако его размеры велики по отношению к характерному размеру микроструктуры,  $|S_+|$  и  $|S_-|$  — соответственно площади, занятые в пределах  $S$  областями с  $h = h_+ > h_{\min}$  и  $h = h_- = h_{\min}$ .

Аналогично (3.3) число  $1-\kappa$  характеризует концентрацию в пределах  $S$  областей с толщиной  $h_-$  в данной точке  $\Omega$ .

Определив средние значения  $h_+$  и  $h_-$  следующим образом

$$\langle h_+^M \rangle = \frac{1}{|S_+|} \int_{S_+} h_+^M d\Omega, \quad \langle h_-^M \rangle = \frac{1}{|S_-|} \int_{S_-} h_-^M d\Omega, \quad |M| \geq 1$$

найдем среднее значение  $h^M$  на  $S$

$$\langle h^M \rangle = \frac{|S_+|}{|S|} \langle h_+^M \rangle + \frac{|S_-|}{|S|} \langle h_-^M \rangle$$

и, переходя к пределу при  $|S| \rightarrow 0$ , получим

$$\langle h^M \rangle = \kappa \langle h_+^M \rangle + (1-\kappa) \langle h_-^M \rangle, \quad |M| \geq 1 \quad (3.4)$$

Приведем вид введенных выше собственных чисел, использующий конструкцию (3.4) [6]

$$\lambda_1 = \langle h^{-3} \rangle^{-1}, \quad \lambda_2 = \langle h^3 \rangle; \quad \mu_1 = \langle h^{-2} \rangle \langle h^{-3} \rangle^{-1}, \quad \mu_2 = \langle h \rangle \quad (3.5)$$

Итак, описание предельного поведения смазочного слоя в локальных координатах  $(\mathbf{n}, \boldsymbol{\tau})$ , связанных с линией разрыва  $h$ , дается соотношениями (3.1)–(3.5).

В качестве управляющих функций возьмем элементы тензоров  $D$  и  $R$ , определяемых соотношениями (3.2), (3.4) и (3.5). При этом само понятие управляющей функции требует здесь некоторого уточнения. Действительно, в данном случае в оптимальном профиле предполагается наличие некоторой предельной периодической структуры, которая может быть аппроксимирована большим числом одинаковых микропериодов в виде «микроканалов» на неподвижной поверхности.

Из сказанного очевиден смысл функции  $\kappa$ , определяемой соотношением (3.3), — она характеризует предельную поточечную концентрацию микроканалов. При этом в микроканавках  $h = h_+ > h_{\min}$ , а вне их  $h = h_- = h_{\min}$ . Это замечание позволяет определить управляющую функцию — глубину микроканалов  $\Delta$  — следующим образом:  $\Delta > 0$  при  $h > h_{\min}$  и  $\Delta = 0$  при  $h = h_{\min} = 1$ .

Наконец, в качестве управляющей функции, очевидно, будет выступать и угол  $\beta$  — местный угол наклона оси предельного периода к направлению оси  $x_2$ , вдоль которой происходит скольжение. Этот угол характеризует наклон одного из собственных векторов  $\mathbf{a}$  или  $\mathbf{b}$ , которые направлены по касательной  $\boldsymbol{\tau}$  и нормали  $\mathbf{n}$  к линии разрыва функции  $h$ , в пределе совпадающей с осью микропериода.

Итак, предельные управляющие функции  $\kappa$ ,  $\Delta$  и  $\beta$  определяют элементы тензоров  $D$  и  $R$ .

Заметим, что случай  $\beta = 0$ , отвечающий микроканавкам, параллельным оси  $x_2$ , необходимо исключить, так как соответствующее ему решение системы (3.1) в согласии с исходными уравнениями (1.1) тривиально:  $p = 0$  в  $\Omega$ . Этот случай также не соответствует условию периодичности предельного профиля  $h$  по  $x_2$ .

Отсюда и из того, что все микроканалы одинаковы, следует, что поле давления, определяемое уравнениями (3.1), «сглажено» в направлении скольжения вдоль оси  $x_2$  и едино в каждом из сечений плоскостью  $x_2 = \text{const}$ .

Из этих рассуждений, естественно, следует, что управляющие функции  $\kappa$ ,  $\Delta$  и  $\beta$  — функции одной независимой переменной  $x_1$ . Из соотношения (3.4) для  $\langle h^M \rangle$  видно, что величина  $\langle h_-^M \rangle$  определяется условием  $h_{\min} = 1$  согласно (1.4) и всюду в  $\Omega$   $\langle h_-^M \rangle = 1$ . Функция  $\langle h_+^M \rangle$  характеризу-

ется поточечной глубиной микроканалов  $\Delta(x_1)$ , причем

$$\langle h_+^M(x_1) \rangle = \lim_{|S_+| \rightarrow 0} \frac{1}{|S_+|} \int_{S_+} h_+^M ds = (1 + \Delta(x_1))^M$$

Таким образом

$$\langle h^M(x_1) \rangle = (1 + \Delta(x_1))^M \kappa(x_1) + 1 - \kappa(x_1) \quad (3.6)$$

Перейдем от локальных координат  $(n, \tau)$ , в которых записана система уравнений (3.1), к исходным  $(x_1, x_2)$ , связанным с поверхностью газового слоя, с помощью преобразования координат

$$a = i_1 \cos \beta - i_2 \sin \beta, \quad b = i_1 \sin \beta + i_2 \cos \beta$$

При этом сглаженный характер решения в направлении скольжения в соответствии со сказанным выше приводит к независимости всех соотношений от  $x_2$ , т. е. система уравнений (3.1) приобретает вид

$$\operatorname{div} \langle Q \rangle = 0, \quad \langle Q \rangle = -A i_1 i_1 \cdot i_1 \frac{dp}{dx_1} + B i_1 i_2 \cdot i_2 \quad (3.7)$$

$$A = \lambda_1 \cos^2 \beta + \lambda_2 \sin^2 \beta, \quad B = (\mu_2 - \mu_1) \frac{\sin 2\beta}{2}$$

Краевыми условиями к уравнениям (3.6) служат условия (1.2), которые запишем в форме

$$p(x_s) = p(x_f) = 0 \quad (3.8)$$

где  $x_s = -0,5$  и  $x_f = 0,5$  — границы  $\Omega$  по  $x_1$ , отвечающие  $\partial\Omega_0'$  и  $\partial\Omega_0''$ . В рамках приведенных соображений относительно предельного оптимального решения функционал расширенной вариационной задачи, согласно (1.5), принимает вид

$$J = -\Lambda \int_{x_s}^{x_f} p dx_1 \quad (3.9)$$

На функции  $\Delta$ ,  $\kappa$  и  $\beta$  наложены следующие естественные ограничения

$$0 \leq \Delta \leq \Delta_{\max}, \quad 0 \leq \kappa \leq 1, \quad -\frac{\pi}{2} \leq \beta \leq \frac{\pi}{2} \quad (3.10)$$

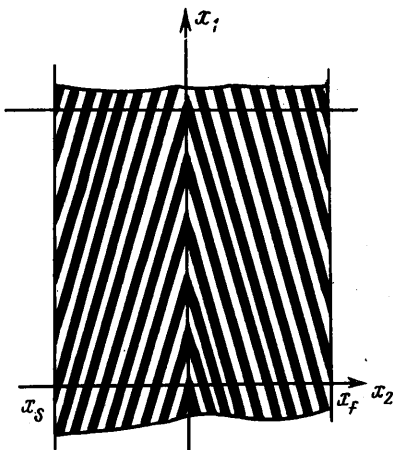
Итак, расширенная вариационная задача представляет собой следующую вариационную задачу для нескольких функций одного независимого переменного [7]. Среди существенно ограниченных на  $[x_s, x_f]$  функций  $\Delta$ ,  $\kappa$  и  $\beta$ , удовлетворяющих неравенствам (3.10), и среди обобщенных решений краевой задачи (3.7) — (3.8) с коэффициентами, определяемыми соотношениями (3.5), (3.6), найти те, которые дают экстремум функционалу (3.9).

Анализ системы необходимых условий вариационной задачи (3.7) — (3.10) показывает, что оптимальный профиль может быть реализован двумя видами решений. Причем оба они связаны с естественной симметрией задачи по отношению к направлению скольжения вдоль оси  $x_2$ .

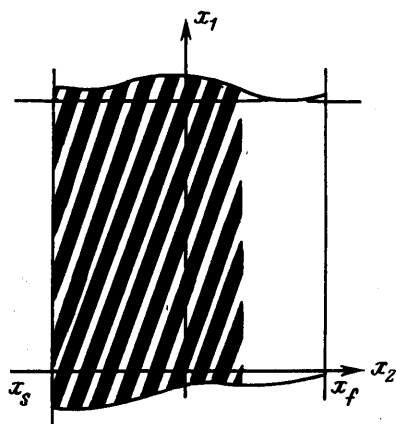
Первое решение — симметричное, ему отвечает нулевой расход газа:  $Q = 0$  и «шевронный» профиль (фиг. 2) с параметрами  $\Delta(x_1) = 2,653$ ,  $\kappa(x_1) = 0,500$ ,  $\beta(x_1) = \pm 0,2736$  ( $\pm 15,7^\circ$ ). При этом величина подъемной силы  $J = -0,02279\Lambda$ , а поле давления описывается формулой

$$p(x_1) = \begin{cases} 0,04559(2x_1 + 1), & x_1 \in [-0,5; 0] \\ -0,04559(2x_1 - 1), & x_1 \in (0; 0,5] \end{cases}$$

с максимумом в точке  $x_1 = 0$ , равным 0,04559.



Фиг. 2



Фиг. 3

Второе решение реализуется одним из двух способов: в первом (фиг. 3) микроканавки расположены в области  $[-0,5; 0,2292]$ ; во втором, наоборот, — в области  $[-0,2292; 0,5]$ . Естественно, что параметры микроканавок в обоих случаях одинаковы:  $\Delta(x_1) = 3,189$ ;  $\kappa(x_1) = 0,6537$ ;  $\beta(x_1) = \pm 0,3773$  ( $\pm 18,2^\circ$ ). Подъемная сила  $J = -0,02179\Lambda$ . В случае расположения микроканавок, отвечающем фиг. 3, поле давления описывается формулами

$$p(x_1) = \begin{cases} 0,02988(2x_1+1), & x_1 \in [-0,5; 0,2292] \\ -0,08045(2x_1-1), & x_1 \in (0,2292; 0,5] \end{cases}$$

с максимумом в точке  $x_1 = 0,2292$ , равным  $0,04357$ .

Таким образом, большую подъемную силу в рамках расширенной задачи имеет шевронный профиль.

В заключение отметим, что подъемная сила оптимального периодического профиля выше, чем подъемная сила оптимального профиля открытого типа, сообщающегося со средой на всей своей границе [1]. Действительно, приведенная в [1] величина  $I = -0,02\Lambda$  (для аналогичной изучаемой здесь квадратной области  $\Omega$ ) меньше, чем любое из приведенных выше значений подъемной силы в периодической задаче.

#### СПИСОК ЛИТЕРАТУРЫ

1. Болдырев Ю. Я., Троицкий В. А. Одна пространственная вариационная задача газодинамической теории смазки // Изв. АН СССР. МЖГ. 1975. № 5. С. 34–39.
2. Болдырев Ю. Я., Борисов Ю. В. Упорный секторный подшипник с газовой смазкой, имеющий максимальную несущую способность // Изв. АН СССР. МЖГ. 1990. № 6. С. 35–42.
3. Лурье К. А. Оптимальное управление в задачах математической физики. М.: Наука, 1975. 478 с.
4. Райтум У. Е. Задачи оптимального управления для эллиптических уравнений. Рига: Зинатне, 1989. 276 с.
5. Жиков В. В., Козлов С. М., Олейник О. А., Ха Твен Нгоан. Усреднение и G-сходимость дифференциальных операторов // Успехи мат. наук. 1979. Т. 34. № 5. С. 65–133.
6. Болдырев Ю. Я. К проблеме построения асимптотического аналога уравнения Рейнольдса газовой смазки. Изв. АН СССР. МЖГ. 1991. № 6. С. 8–14.
7. Теория оптимальных аэродинамических форм / Под ред. Миеле. М.: Мир, 1969. 507 с.

Санкт-Петербург

Поступила в редакцию  
26.II.1991